

## Original Article

# Dehydroepiandrosteron Accompanied Retinoic Acid Enhances Differentiation of P19 Embryonal Stem Cells into Neural Cells

Hossein Azizi, M.Sc.<sup>1</sup>, Narges Zare Mehrjerdi, M.Sc.<sup>1</sup>, Mirza Khalil Bahmani, Ph.D.<sup>2</sup>,  
Hossein Baharvand, Ph.D.<sup>1,3\*</sup>

1. Stem Cells and Developmental Biology Department, Royan Institute for Stem Cell Biology and Technology,  
ACECR, Tehran, Iran

2. HIV & Hepatitis Research Center, Shiraz University of Medical Science, Shiraz, Iran

3. Developmental Biology Department, University of Science and Culture, Tehran, Iran

\* Corresponding Address: P.O.Box: 19395-4644, Stem Cells and Developmental Biology Department, Royan Institute for  
Stem Cell Biology and Technology, ACECR, Tehran, Iran  
Email: baharvand@royaninstitute.org

Received: 6/Dec/2007, Accepted: 5/Jun/2008

### Abstract

**Objective:** Dehydroepiandrosteron (DHEA) is a neurosteroid with potential effect on neurogenesis, neuronal survival and proliferation of neural progenitor cells. However there is no direct evidence for its biological effect during the differentiation of stem cell-derived neurons. The p19 line of embryonal carcinoma cells develops into neurons, astroglia and fibroblasts after exposure to retinoic acid (RA). This study was initiated to assess the effect of DHEA on neural cells derived from p19 embryonal carcinoma stem cells.

**Materials and Methods:** P19 cells were suspended in dulbecco's modified eagle's medium (DMEM) containing fetal bovine serum (FBS) in bacterial-grade petri dishes in the presence of RA, DHEA and RA+DHEA for 6 days. Then cells were trypsinized for dispersion and replaced in poly L-lysine (10 $\mu$ g/ml) coated tissue culture dishes without RA and DHEA for 4 days. The expression of neural markers Map-2, Tau, beta-tubulin III- clone Juj (Tuj1), astrocyte marker GFAP and the percent of neurotransmitters tyrosine hydroxylase, glutamate, serotonin and acetyl cholin transferase were evaluated by flowcytometry, immunocytochemistry and RT-PCR analysis.

**Results:** Flowcytometry analysis showed that about  $63 \pm 3\%$  of the cells express neuronal marker Tuj1 and about  $5 \pm 1\%$  of the cells express tyrosine hydroxylase neurotransmitters in RA treated groups. However when RA and DHEA were added to the culture medium, Tuj1 expression increased to about  $74 \pm 1\%$  and tyrosine hydroxylase expression increased to  $23 \pm 2\%$ .

**Conclusion:** Results showed that DHEA accompanied RA increased the number of Tuj1 and dopaminergic neurons that were derived from p19 embryonal carcinoma stem cells.

**Keywords:** Retinoic Acid, Neurogenesis, Dehydroepiandrosteron

Yakhteh Medical Journal, Vol 11, No 2, Summer 2009, Pages: 228-235

## اثر دهیدروپی اندررواسترون همراه با اسیدرتینوئیک بر تمایز سلول‌های بنیادی رویانی P19 به سلول‌های عصبی

حسین عزیزی<sup>۱</sup>, فرگس زارع مهرجردی<sup>۲</sup>, میرزا خلیل بهمنی<sup>۳</sup>,  
حسین بهاروند<sup>۴</sup>

۱. پژوهشکده رویان، مرکز تحقیقات علوم سلولی جهاد دانشگاهی، گروه سلول‌های بنیادی و زیست‌شناسی تکوینی،  
تهران، ایران

۲. دانشگاه علوم پزشکی شیراز، مرکز تحقیقات هپاتیت و HIV، شیراز، ایران

۳. دانشگاه علم و فرهنگ، گروه زیست‌شناسی تکوینی، تهران، ایران

\* آدرس نویسنده مسئول: تهران، ایران، صندوق پستی: ۱۹۳۹۵-۴۶۴۴، پژوهشکده رویان، مرکز تحقیقات علوم سلولی جهاد دانشگاهی،  
گروه سلول‌های بنیادی و زیست‌شناسی تکوینی

پست الکترونیک: Email: baharvand@royaninstitute.org

دریافت مقاله: ۸۶/۰/۱۵، پذیرش مقاله: ۸۷/۳/۱۶

### چکیده

\* هدف: بررسی اثر دهیدروپی اندررواسترون به تنهایی و اثر دهیدروپی اندررواسترون همراه با اسیدرتینوئیک بر تمایز سلول‌های عصبی از سلول‌های P19 و تعیین ماهیت آنها

\* مواد و روش‌ها: سلول‌های P19 به مدت ۶ روز به صورت سوسپانسیون در ظروف کشت پلاستیکی مخصوص کشت باکتری همراه با محیط DMEM حاوی سرم کشت شد. در این مدت زمان سلول‌ها در معرض اسیدرتینوئیک، دهیدروپی اندررواسترون و اسیدرتینوئیک + دهیدروپی اندررواسترون قرار گرفت. سلول‌ها تریپسینه شده و به مدت ۴ روز روی بستر پوشیده شده از پلی-L-Lیزین کشت شد. سپس درصد بیان مارکرهای عصبی TuJ1, MAP-2, Tau (GFAP)، درصد نوروترانسیمترهای تیروزین هیدروکسیلانز، گلوتامات، سروتونین و استیل کولین سلول‌های عصبی با فلوسایتومری، آیمونوستوژیمی و RT-PCR مورد بررسی قرار گرفت.

\* یافته‌ها: آنالیزهای فلوسایتومری نشان داد که حدود  $63 \pm 3$  درصد سلول‌ها TuJ1 و حدود  $1 \pm 5$  درصد سلول‌ها تیروزین هیدروکسیلانز را در گروه اسیدرتینوئیک بیان می‌کند. اما در گروه تحت تیمار اسیدرتینوئیک + دهیدروپی اندررواسترون بیان TuJ1 به حدود  $74 \pm 7$  درصد و نوروترانسیمتر تیروزین هیدروکسیلانز به حدود  $23 \pm 2$  درصد افزایش یافت.

\* نتیجه‌گیری: نتایج نشان می‌دهد که دهیدروپی اندررواسترون به همراه اسیدرتینوئیک تعداد سلول‌های عصبی TuJ1 و عصب‌های دوپامینزیک مشتق شده از سلول P19 را افزایش می‌دهد.

\* کلیدواژگان: اسیدرتینوئیک، تمایز به سلول‌های عصبی، دهیدروپی اندررواسترون

فصلنامه پزشکی یاخته، سال یازدهم، شماره ۲، تابستان ۸۸، صفحات: ۲۳۵-۲۲۸

### مقدمه

استروئیدها نقش مهمی در کنترل عصب‌زایی ایفا می‌کنند. سطح استروئیدهای خون و مغز به برخی از وقایع خارجی مانند استرس‌های ایفارایندهای زیستی مانند طول سن وابسته است (۱، ۲). در سلول‌های بنیادی کورتکس رویان انسان دهیدروپی اندررواسترون سبب افزایش بیان مارکر گلیال Beta (Glia Fibrillar Acidic Protein; GFAP) و مارکر عصبی (Tubulin III- Clone Tuj; Tuj1) می‌شود (۳). محققان دریافتند که رت‌های بالغی که در دوران نوزادی در معرض دهیدروپی اندررواسترون قرار می‌گیرند، بیان پروتئین عصبی Microtubule-Associated (Protein; MAP-2) در سلول‌های هیپوکامپ آنها افزایش می‌یابد (۴). مشخص شده که دهیدروپی اندررواسترون بیان مارکر عصبی (Neuronal Specific Nuclear Protein; NeuN) را در سلول‌های هیپوکامپ موش بالغ تحریک کرده و سبب افزایش عصب‌زایی می‌شود (۵). یک اثر هم افزایی بین اسیدرتینوئیک و دهیدروپی اندررواسترون بر سلول‌های نوروبلاستومای انسانی گزارش شده که می‌تواند باعث افزایش بیان مارکر عصبی

Growth-Associated Protein 43; GAP-43) شود (۶). اسیدرتینوئیک به عنوان منشی از ویتامین A، برای حفظ رشد و پیشرفت طبیعی سلول‌ها ضروری است. این ماده یک تمایز‌دهنده عمومی بوده که در بافت‌های مختلف در دوران رویانی و بلوغ به خصوص در سیستم عصبی وجود دارد و باعث پیشرفت تمایز عصبی می‌شود. الگوی رشد لوله عصبی در محور پشتی - شکمی تحت تأثیر ریخت‌زاهای خارج سلولی هم چون (FGF) Fibroblast Growth Factors, Retinoic Acid, (BMP) Bone Morphogenetic Protein, Shh (Sonic Hedgehog) قرار می‌گیرد (۷، ۸). لوله عصبی در حال رشد به عنوان یکی از بخش‌های اصلی رویانی، حاوی مقادیر زیادی از اسیدرتینوئیک است (۹). تحقیقات نشان داده که عدم حضور اسیدرتینوئیک باعث ایجاد اختلالاتی در سازمان دهنده‌های مورفو‌لولژیکی نخاع و همچنین رفتارهای سلولی در طی رشد نخاع می‌گردد. از ویژگی‌های سلول‌های P19 در این است که اگر در محیط‌های کشت معمولی به صورت توده‌ای کشت داده شوند، بسیاری از سلول‌ها حالت بنیادی را حفظ کرده و تنها بخش کوچکی

و EDTA ۰/۰۵۸ درصد انجام شد. بدین نحو که بعد از اضافه کردن محلول شستشو، سلول‌ها با دور ۲۰۰۰ rpm به مدت ۵ دقیقه سانتریفیوژ شده و در نهایت محلول رویی حذف شد. در ابتدا سلول‌های مورد نظر با پارافرمالدئید ۴ درصد به مدت ۳۰ دقیقه انکوبه شد. سپس سلول‌ها شستشو داده شده و با تریتون-X-۱۰۰ یک درصد به مدت ۱۵ دقیقه نفوذپذیر شد. بعد از شستشو، سلول‌ها با سرم ۱۰ درصد به مدت ۱۵ دقیقه انکوبه شد. به سلول‌ها آنتی‌بادی اوایله (Sigma T5293) MAP-2 (Sigma M1406)، (RD MAB 361) Tau (Chemicon MAB3402) GFAP (Chemicon MAB5270)، (گلوتامات (Glu) T1299) هیدروکسیلаз (Sigma G5038)، سروتوئین (5-HT)، (Sigma S5545) و استیل کولین ترانس‌فراز (Sigma F1262) Anti Rabbit IgG FITC (Chemicon AP308F) با غلاظت ۲۰۰/۱ اضافه شده و بعد از ۶۰ دقیقه نگهداری و شستشو، آنتی‌بادی‌های ثانویه Goat Anti-Mouse IgG FITC (Chemicon AP308F) با غلاظت ۱۰۰/۱ اضافه کرده و به مدت ۳۰ دقیقه نگهداری شد. سپس سلول‌ها شستشو داده شده و بعد از ثبیت با پارافرمالدئید یک درصد، توسط دستگاه فلوسایتومتری مدل Bectin Dekenson Win MDI ۲/۸ نرم‌افزار و خوانده شد.

**رنگآمیزی ایمونو فلورسنس**  
مراحل ایمونو سیتوشیمی برای آنتی‌ژن‌های اختصاصی سلول‌های عصبی به شرح زیر می‌باشد: سلول‌ها با محلول پارافورما الدئید ۴ درصد به مدت ۱۰ دقیقه در دمای چهار درجه سانتی‌گراد در یخچال ثبیت (Fixed) و با محلول Triton x-100 با درصد دودهم درصد تهیه شده در PBS به مدت پنج دقیقه در دمای اتاق نفوذپذیر شده و سپس با آنتی‌بادی اوایله (Sigma, GFAP و Goat anti-mouse IgG FITC) و با محلول  $\beta$ -TubulinIII، Tau، (Chemicon MAB3402) در مدت ۶۰ دقیقه در دمای ۳۷ درجه سانتی‌گراد یا یک شبانه روز در ۴ درجه سانتی‌گراد انکوبه شد. بعد از شستشو آنتی‌بادی‌های ثانویه Anti Rabbit IgG FITC و Goat anti-mouse IgG FITC با غلاظت ۲۰۰/۱ علیه آنتی‌بادی‌های اوایله اضافه شده و به مدت یک ساعت در دمای ۳۷ درجه سانتی‌گراد نگهداری شد.

#### RT-PCR

حدود ۱۰<sup>۹</sup> سلول در روز ۱۰ تمایز از لحاظ بیان ژن‌های عصبی RNA، HB9،  $\beta$ -TubulinIII، TH سلول‌های مد نظر با استفاده از محلول RNX-plus solution و مطابق با پروتوكل این شرکت جداسازی شد. در ادامه با استفاده از محلول Reaction buffer و DNA، MgCl<sub>2</sub> به همراه Dnase I استخراج شده، حذف گردید. سپس فعالیت Dnase I با افزودن ۲۵ میلی‌گرم EDTA متوقف شد. ساخت cDNA در واکنش رونویسی معکوس (RT) با استفاده از کیت Revert acid H minus PCR با استفاده از پرایمرهای اختصاصی ژن‌های عصبی انجام شد. شرایط PCR به صورت: واسرشتگی اوایله: ۵ دقیقه (۹۳ درجه سانتی‌گراد) و اسپلشنگی هر سیکل: ۴۵ ثانیه (۹۲ درجه سانتی‌گراد) Annealing: با توجه به Tm پرایمرهای هر ژن که در جدول یک ذکر شده است. Extention هر سیکل: ۴۵ ثانیه Extention.

از سلول‌ها به سلول‌های شبیه اندرودرم خارج رویانی تمایز می‌یابند (۱۰) و زمانی که در معرض اسیدرتینوئیک قرار بگیرند به طور چشم‌گیری به سمت سلول‌های عصبی هدایت می‌شوند (۱۱). اما وقتی در معرض Dimethyl Sulfoxide (DMSO) قرار بگیرند به سمت سلول‌های مناسبی ماهیچه‌ای هدایت می‌شوند (۹). بنابراین این سلول‌ها مدل سلولی مناسبی برای بررسی تکوین سلول‌های عصبی و ماهیچه‌ای می‌باشد. اهمیت سلول‌های p19، در این است که در حالت غیرتمایز یافته، سلول‌های مناسبی برای دست‌کاری زنیکی هستند و همچنین زمانی که در معرض اسیدرتینوئیک قرار بگیرد به سلول‌های عصبی شبیه سیستم عصبی مرکزی تمایز می‌یابد (۱۲). بنابراین با مطالعه سلول‌های عصبی مشتق شده از سلول‌های p19، می‌توان نتایج را به سلول‌های عصبی ناخیه سیستم عصبی مرکزی تعیین داد. تا آنکه مطالعه‌ای در مورد اثر اسیدرتینوئیک و دھیدرواپی اندررواسترون بر تمایز سلول‌های بنیادی رویانی به سلول‌های عصبی صورت نگرفته است. مطالعه قبلی ما نشان داد که دھیدرواپی اندررواسترون به همراه اسیدرتینوئیک می‌تواند سبب افزایش تکثیر پیش‌سازهای عصبی مشتق از p19 شود (۱۳). لذا در این مطالعه ابتدا اثر اسیدرتینوئیک و دھیدرواپی اندررواسترون را به صورت مجزا بر تمایز سلول‌های بنیادی کارسینومایی رویانی p19 به سلول‌های عصبی بالغ مورد بررسی قرار داده سپس در ادامه به اثر هم‌زمان آنها نیز بر تمایز این سلول‌ها به مشتقان عصبی خواهیم پرداخت.

#### مواد و روش‌ها

در این مطالعه از سلول‌های کارسینومایی جنبی رده p19 (تهران، موسسه پاستور) استفاده شد. این سلول‌ها در محیط Dulbecco's Modified Eagle's Medium (DMEM) حاوی ۱۵ درصد FBS (Fetal Bovine Serum) و پنی‌سیلین (استرپتومایسین) واحد بر میلی‌لیتر) کشت داده شده‌اند.

#### تمایز به سلول‌های عصبی

نحوه تمایز سلول‌های بنیادی p19 به سلول‌های عصبی بر اساس تشکیل اجسام شبیه رویانی انجام شد. بدین ترتیب که سلول‌ها با غلاظت ۱/۵ × ۱۰<sup>۵</sup> سلول بر میلی‌لیتر به مدت ۶ روز به صورت سوسپانسیون در ظروف کشت پلاستیکی مخصوص کشت باکتری کشت شد. محیط سلول‌ها در روزهای ۱-۴ حاوی DMEM با ۵ درصد FBS بوده و مقدار آن در روزهای ۵-۶ به ۳ درصد کاهش یافته. در این مدت زمان سلول‌ها در گروههای کنترل (در این گروه سلول‌ها در مدت ۶ روز در معرض اسیدرتینوئیک و دھیدرواپی اندررواسترون قرار نگرفت)، دھیدرواپی اندررواسترون (۱ میکرومولار)، اسیدرتینوئیک (۴ میکرومولار) و اسیدرتینوئیک (۴ میکرومولار) + دھیدرواپی اندررواسترون (۱ میکرومولار) با هم تیمار شد. سپس سلول‌های اجسام شبیه رویانی از هم جدا شده و روی بستر پوشیده شده از پلی-L-لیزین (۱۰ میکرومولار بر میلی‌لیتر) حاوی محیط کشت عصبی قرار گرفته و بعد از ۴ روز تست‌های سلول‌های عصبی بررسی شد.

#### فلوسایتومتری

مراحل فلوسایتومتری برای آنتی‌ژن اختصاصی سلول‌های عصبی به شرح زیر بود: تعداد سلول‌های انتخاب شده حدود ۱۰<sup>۶</sup> و در تمام مراحل آزمایش دما ۴ درجه و شستشو با محلول FBS حاوی Phosphate Buffered Saline (PBS) یک درصد

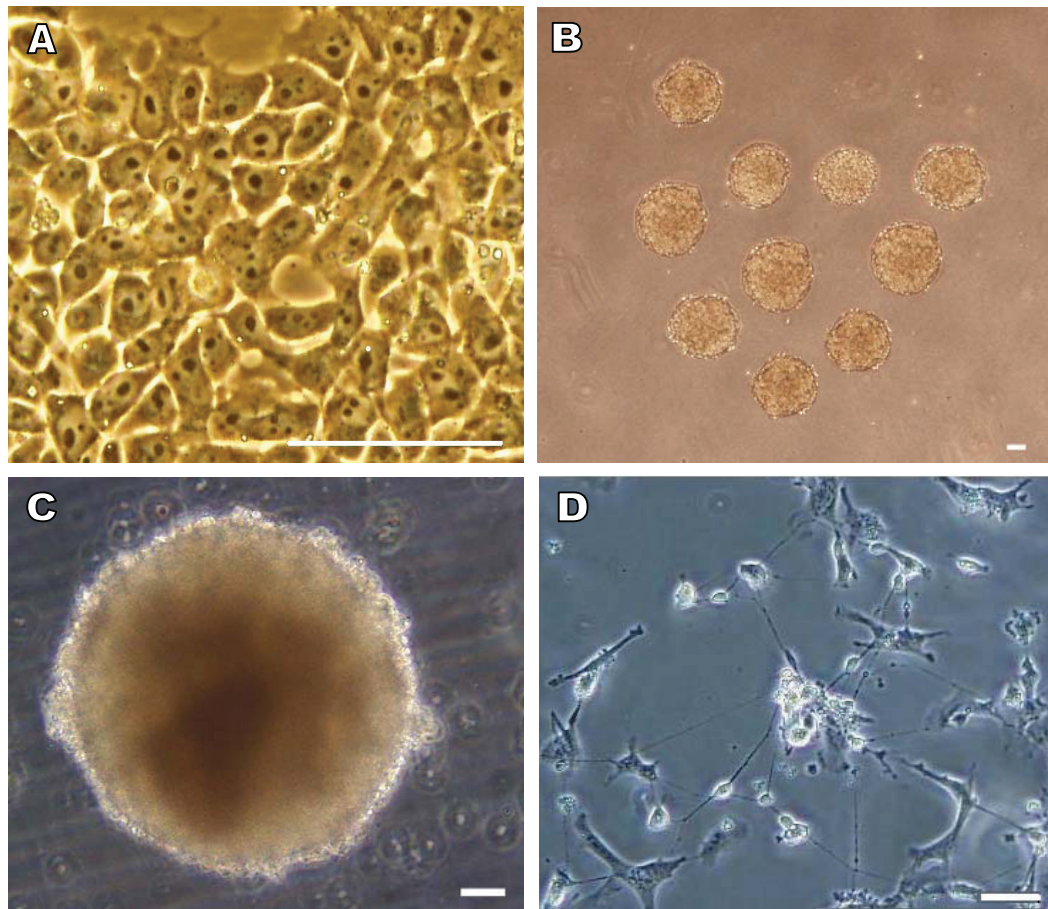
جدول ۱: محصولات PCR روی آکارز ۱.۷ درصد جدا و با اتیدیوم بروماید قابل رویت شد.

Genes	Primer sequences (5'-3')	Size (bp)	Annealing Temperature
<b>HB9</b>	F:5'-GGCGCTTCCACTC ATACC- 3' R:5'-TCCTCTCCGTCTC TCCTCAC -3'	456	64
<b>TH</b>	F:5'-TCCTGCACCCCTGTCAGAG- 3' R:5'-CCAAGAGCAGCCCATCAAAGG-3'	423	59/4
<b>Tubulin3</b>	F:5'- GTTCCCACG TCTCCA CTTCTTC -3' R:5'-CCAGGTATTGATGTTGC TCTC-3'	479	65
<b>β-tubulin</b>	F:5'-GGAACATAGCCGTAAACTGC-3' R:5'-TCACTGTGCCTGAACCTTAC-3'	335	67

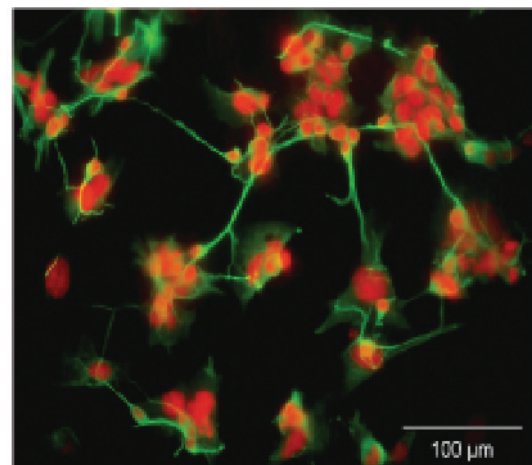
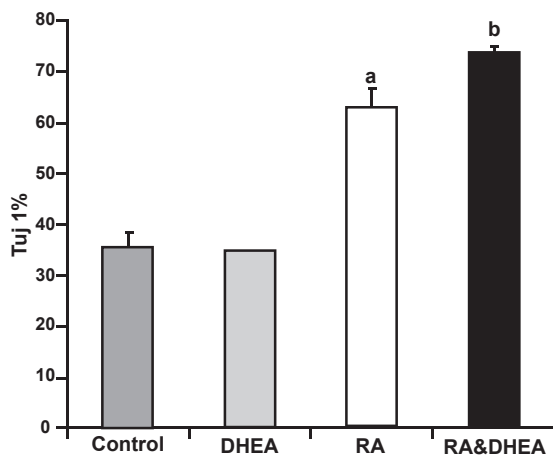
### یافته‌ها

سلول‌های P19 بدون نیاز به لایه تغذیه کننده (Feeder layer) به سادگی در محیط DMEM حاوی ۱۵ درصد FBS رشد می‌کنند (شکل ۱A). نحوه تمایز سلول‌های بنیادی P19 به سلول‌های عصبی بر اساس تشکیل اجسام شبه رویانی انجام شد. این سلول‌ها در ظروف غیرچسبنده قادر هستند توده‌های اجسام شبه رویانی را شکل دهنند (شکل ۱B, C).

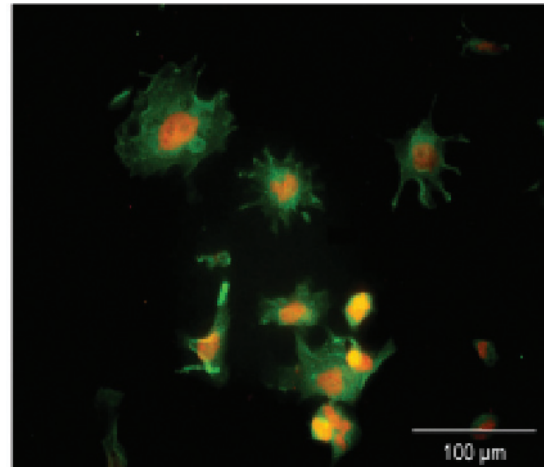
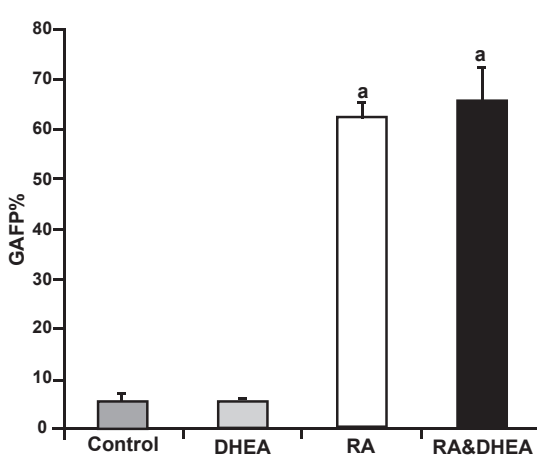
**آزمون آماری**  
مطالعه حاضر به صورت Parallel Experimental Design طراحی شد که در آن گروه‌های مختلف سلول‌های کارسینومایی جنینی P19 به صورت دو به دو بررسی شد. در این مطالعه از تست ANOVA برای بررسی P-value بین همه گروه‌ها و از تست Tukey برای بررسی اختلاف میانگین‌های دو گروه استفاده شد. حداقل تکرارهای آزمایش برای گروه‌ها سه بار بوده و  $P < 0.05$  به عنوان معنی داری در نظر گرفته شد.



شکل ۱: مورفولوژی سلول‌های P19 در حالت‌های مختلف را نشان می‌دهد. در شکل A سلول‌های P19 را در حالت غیرتمایز یافته می‌توان مشاهده کرد. شکل B توده‌های اجسام شبه رویانی در روز سوم را نشان می‌دهد. شکل C اجسام شبه رویانی در روز ششم را نشان می‌دهد. شکل D بعد از ۴ روز پلیت شدن سلول‌های پیش‌ساز عصبی در گروه تحت تیمار با اسید رتینوئیک، مورفولوژی سلول‌های عصبی را می‌توان مشاهده کرد. مقیاس: ۵۰ میکرومتر.



شکل ۲: سمت چپ: نتایج فلوسایتمتری حاصل از آنالیز آماری TuJ1 بعد از ۴ روز پلیت شدن را نشان می‌دهد. a اختلاف معنی دار با گروه کنترل و دھیدرواپی اندرؤاسترون ( $p < 0.05$ ). b اختلاف معنی دار با گروه اسیدرتینوئیک ( $p < 0.001$ ). سمت راست تصویر ایمونوستیتوشیمی GFAP بعد از ۴ روز پلیت شدن را نشان می‌دهد.



شکل ۳: سمت راست: نتایج فلوسایتمتری حاصل از آنالیز آماری GFAP بعد از ۴ روز پلیت شدن را نشان می‌دهد. a اختلاف معنی دار با گروه های کنترل و دھیدرواپی اندرؤاسترون. سمت چپ: تصویر ایمونوستیتوشیمی GFAP بعد از ۴ روز پلیت شدن را نشان می‌دهد.

به حدود  $4 \pm 5$  درصد اما در گروه های کنترل و دھیدرواپی اندرؤاسترون به حدود  $1 \pm 5$  درصد کاهش یافت ( $p < 0.001$ ) (شکل ۳). بنابراین با توجه به پایین بودن میزان عصب زایی در گروه های کنترل و دھیدرواپی اندرؤاسترون، در آزمایشات بعدی بررسی ها فقط در گروه های اسیدرتینوئیک و اسیدرتینوئیک + دھیدرواپی اندرؤاسترون انجام شد.

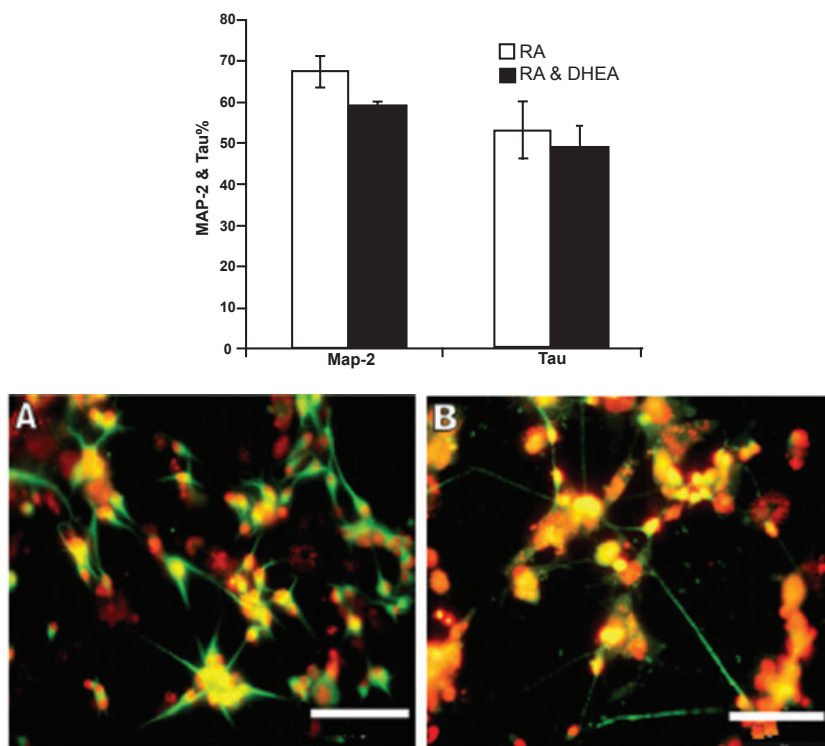
از بررسی های به عمل آمده بر میزان بیان مارکر Tau و Map-2 در دو گروه اسیدرتینوئیک و اسیدرتینوئیک + دھیدرواپی اندرؤاسترون می توان به ترتیب  $52 \pm 5$  و  $49 \pm 8$  درصد سلول ها مارکر Tau، و  $59 \pm 1$  و  $65 \pm 5$  درصد سلول ها مارکر Map-2 را بیان کرد (شکل ۴).

آنالیز RT-PCR بلوغ سلول های عصبی را با بیان ژن های Tuj1، TH و HB9 در سطح mRNA در دو گروه اسیدرتینوئیک و اسیدرتینوئیک + دھیدرواپی اندرؤاسترون تایید کرد (شکل ۵).

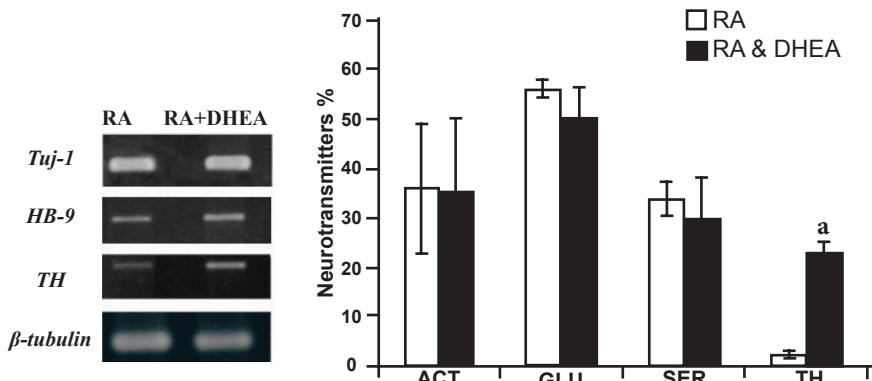
از بررسی های به عمل آمده بعد از ۴ روز پلیت شدن توده های سلولی p19 تحت تیمار با اسیدرتینوئیک مورفولوژی، سلول های عصبی کاملا مشخص شده که از مهم ترین این ساخته ها می توان به وجود استطاله هایی شبه اکسون ها و دندربیت ها اشاره کرد (شکل ۱D).

از بررسی های به عمل آمده بعد از ۴ روز پلیت شدن بر تیمار توده های سلول p19 با دھیدرواپی اندرؤاسترون و اسیدرتینوئیک نشان داده شد. حدود  $63 \pm 3$  درصد سلول ها در گروه اسیدرتینوئیک و حدود  $74 \pm 1$  درصد سلول ها در گروه اسیدرتینوئیک + دھیدرواپی اندرؤاسترون TuJ1 را بیان کرده است ( $p < 0.05$ ) اما این میزان در گروه های کنترل و دھیدرواپی اندرؤاسترون به حدود  $35 \pm 3$  درصد کاهش یافت ( $p < 0.001$ ) (شکل ۲).

هم چنین میزان بیان GFAP (مارکر سلول های آستروسیتی) در دو گروه اسیدرتینوئیک و اسیدرتینوئیک + دھیدرواپی اندرؤاسترون



شکل ۴: بالا، نتایج فلوسایتمتری حاصل از آنالیز آماری-2 MAP و Tau بعد از ۴ روز پلیت شدن را نشان می‌دهد. پایین تصویر ایمونوستیوشیمی MAP-2 (A) و Tau (B) بعد از ۴ روز پلیت شدن را نشان می‌دهد. مقیاس: ۱۰۰ میکرومتر.



شکل ۵: سمت راست نتایج فلوسایتمتری حاصل از آنالیز آماری نوروترانسミترها را نشان می‌دهد. a اختلاف معنی‌دار با گروه اسیدرتینوئیک ( $p < 0.001$ ).

Tau-2 و پاسخ دهنده‌های دویامین را به همراه دارد که از طریق پاسخ دهنده‌های N- متیل دی‌آسپارتات کلسیم داخل سلولی را افزایش می‌دهد (۱۴، ۱۵). توده‌های سلول p19 در طی ۶ روز تیمار با دوز نرمал اسید رتینوئیک و ۴ روز بعد از پلیت شدن حدود ۶۰ درصد سلول‌ها مارکرهای عصبی-1 Tuj-1 و پروتئین فلامنتی حد واسط GFAP و حدود ۵۰ MAP-2 mRNA را بروز می‌نمایند (شکل ۴). در بررسی نوروترانسミترها بعد از ۴ روز پلیت شدن توده‌های سلولی P19 با اسید رتینوئیک و دهیدروپائی اندرواترون نشان داد حدود ۳۵ درصد سلول‌ها استیل کولین، ۵۰ درصد سلول‌ها گلوتامات و ۳۰ درصد سلول‌ها سروتونین را بیان کرد و است. اما میزان بیان نوروترانسミتر TH در گروه اسید رتینوئیک حدود ۵ درصد و در گروه اسیدرتینوئیک + دهیدروپائی اندرواترون به حدود ۲۰ درصد افزایش یافت ( $p < 0.001$ ) (شکل ۴).

بررسی نوروترانسミترها بعد از ۴ روز پلیت شدن توده‌های سلولی P19 با اسید رتینوئیک و دهیدروپائی اندرواترون نشان داد حدود ۳۵ درصد سلول‌ها استیل کولین، ۵۰ درصد سلول‌ها گلوتامات و ۳۰ درصد سلول‌ها سروتونین را بیان کرد و است. اما میزان بیان نوروترانسミتر TH در گروه اسید رتینوئیک حدود ۵ درصد و در گروه اسیدرتینوئیک + دهیدروپائی اندرواترون به حدود ۲۰ درصد افزایش یافت ( $p < 0.001$ ) (شکل ۴).

## بحث

مطالعات به دست آمده از تاثیر دهیدروپائی اندرواترون بر Neural Stem Cells نشان می‌دهد، دهیدروپائی اندرواترون افزایش رشد اکسونی، اتصالات سیناپسی افزایش mRNA مارکرهای Tau-1،

با تبدیل به DHEAS سبب افزایش پروتئین تیروزین هیدروکسیلаз شده باشد. در ابتدا تنها حضور نوروتانسミترهای استیل کولین (۱۵) و کاتکولامین (۳۰) در سلول‌های عصبی متمایز شده از سلول P19 شناسایی شده بود. مطالعات اخیر حضور گلوتامات را در درصد زیادی از عصب‌ها نشان می‌دهد (۳۱، ۳۲). ۶ روز بعد از اشروع تیمار با دوز ترمال اسیدرتینوئیک (۵×۱۰<sup>-۷</sup>) بیش از ۸۵ درصد سلول‌ها مارکرهای عصبی مانند پروتئین‌های فلامتی ۱۶۰KD، ۶۸KD را بیان می‌کند و در روزهای بعد به علت تکثیر سلول‌های غیرعصبی از جمعیت سلول‌های عصبی کاسته می‌شود (۳۳). در روز دهم سلول‌های آستروستی بالغ با پروتئین فلامتی حد واسط GFAP قابل شناسایی است (۱۰). در محیط کشت بقا طولانی مدت عصب‌های مشتق شده از سلول P19 به حضور سلول‌های غیرعصبی یا فاکتورهای رشد وابسته است (۳۴). عصب‌های مشتق شده از سلول P19 زمانی که به سیستم عصبی مرکزی پستانداران (۳۵) منتقل شود، می‌توانند عملکرد داشته باشند. در مطالعاتی با پیوند سلول‌های P19 تیمار شده با اسیدرتینوئیک به ناحیه stratum رت بالغ (عصب‌های این ناحیه با نوروتکسین تخریب شده بود) نشان داد، عصب‌های سلول‌های P19 و سلول‌های غیرعصبی به مدت ۱۳ هفته در این ناحیه بقا می‌باشد (۳۶). بررسی‌ها نشان می‌دهد که دهیدروآپی اندرواترون در فعل کردن پاسخ دهنده‌های NMDA Tاثیر دارد. زیرا واحدهای اولین زندگی طور تکوینی در لایه ۷ نشکر تکس در انتهای بارداری و اولین زندگی نوزادی (در رت) بیان می‌شود (۳۷). زیرا واحدهای مختلف ویژگی‌های الکتروفیزیولوژیکی و فسفریلاسیون متفاوتی داشته، بنابراین ممکن است در طی تکوین پاسخ دهنده‌های متفاوتی نیز داشته باشد (۳۸-۴۰).

## نتیجه‌گیری

در طی تکوین، واکنش‌های دهیدروآپی اندرواترون می‌تواند از طریق اشکال خاص پاسخ دهنده NMDA تنظیم شود که رشد اکسونی و تماس‌های سلولی را به همراه دارد. با این فرایند‌ها عصب‌زایی شروع می‌شود که این حالت‌ها را می‌توان به مغز افراد بالغ تعیین داد. بنابراین دهیدروآپی اندرواترون ممکن است در شکل گرفتن مغز در طی جین زایی و اوایل زندگی نوزادی نقش ایفا کند. در مجموع نتایج نشان می‌دهد که دهیدروآپی اندرواترون به همراه اسیدرتینوئیک میزان تمایز به سلول‌های عصبی و بیان نوروتانسیترهای دوپامینزیک را افزایش داده اما به تنهایی نمی‌تواند سبب تمایز سلول‌های عصبی شود.

## تقدیر و تشکر

با گرامیداشت یاد داشتمند فقید، دکتر سعید کاظمی آشتیانی که این پژوهه در ابتدا با راهنمایی ایشان آغاز شد، نویسنده‌گان مقاله بر خود لازم داند تشکر خود را از پژوهشکده رویان که تمام هزینه‌های این طرح را تأمین کردند و همچنین آقایان فرجی، حقیقی و خانم‌ها صعودی، دکتر ابراهیمی، مرادمند و ولد بیگی ابراز نمایند.

## References

- Ormerod BK, Lee TT, Galea LA. Estradiol enhances neurogenesis in the dentate gyrus of adult male meadow voles by increasing the survival of young granule neurons. *Neuroscience*. 2004; 128: 645-654.
- Ormerod BK, Lee TT, Galea LA. Estradiol initially enhances but subsequently suppresses (via adrenal steroids) granule cell proliferation in the dentate gyrus of adult female rats. *J Neurobiol*. 2003; 55: 247-260.

در هنگام تشکیل پیش‌سازهای عصبی علاوه بر افزایش عصب‌زایی، سلول‌های عصبی را به سمت دوپامینزیک‌ها سوق می‌دهد و ممکن است اضافه شدن آن بعد از تشکیل پیش‌سازهای عصبی نقش‌های دیگری را بر سلول‌های عصبی ایفا کند.

اسیدرتینوئیک که فرم فعال ویتامین A است، تاثیر زیادی بر مراحل تکوینی جانوران دارد. این ترکیب در مراحل اندام‌زایی، تعین رده سلولی و مرگ سلولی نیز اثر دارد (۲۱-۲۲). در دوران جینی این ماده توسعه ژن Retinaldehyde Dehydrogenase ساخته می‌شود و با تاثیر بر سلول‌های بنیادی رویانی CNS و ساقه مغز موجب القای سلول‌های پیش‌ساز عصبی و تمایز آنها به سمت تشکیل عصب و سلول‌های گلیال می‌شود (۲۰-۲۲). اسیدرتینوئیک به یک گروهی از پاسخ دهنده‌های اسیدرتینوئیک (RARs) متصل می‌شود (۲۳). سلول‌های P19 دو تا از ژن‌های RAR $\alpha$  و RAR $\beta$  را بیان می‌کند (۲۴). بنابراین این سلول‌ها زمانی که در معرض اسیدرتینوئیک قرار می‌گیرد، تنها برخی از ژن‌های پاسخ دهنده به اسیدرتینوئیک را بیان می‌کند نه همه آنها (۲۵). در این مطالعه دیده شد اسیدرتینوئیک سبب القای سلول‌های عصبی شده اما دهیدروآپی اندرواترون به تنهایی چنین نقشی را ایفا نمی‌کند. در صورتی که دهیدروآپی اندرواترون به همراه اسیدرتینوئیک میزان عصب‌زایی را حتی نسبت به اسیدرتینوئیک بیشتر افزایش می‌دهد. در واقع استفاده از اسیدرتینوئیک موجب القای رونویسی گروهی از ژن‌ها مانند گلیکوپروتین ترشحی، Sonic hedgehog، فاکتور رونویسی ژن HNF-3 $\alpha$ , Mash-1 و pax-6 در سلول‌های Kappa Opidi میزان بینیادی رویانی می‌شود و روش شدن این آبشار و بیان ژن‌های مختلف موجب القای تمایز عصبی و توقف تمایز مژودرمال و کاهش میزان بیان mRNA ژن‌های مژودرمال مانند yary, globin, cardiac actin و Brach-

- Suzuki M, Wright LS, Marwah P, Lardy HA, Svendsen CN. Mitotic and neurogenic effects of dehydroepiandrosterone (DHEA) on human neural stem cell cultures derived from the fetal cortex. *Proc Natl Acad Sci USA*. 2004; 101: 3202-3207.
- Iwata M, Muneoka KT, Shirayama Y, Yamamoto A, Kawahara R. A study of a dendritic marker, microtubule-associated protein 2 (MAP-2), in rats neonatally treated neurosteroids, pregnenolone and dehydroepiandrosterone (DHEA). *Neurosci Lett*. 2005; 386: 145-149.

5. Karishma KK, Herbert J. Dehydroepiandrosterone (DHEA) stimulates neurogenesis in the hippocampus of the rat, promotes survival of newly formed neurons and prevents corticosterone-induced suppression. *Eur J Neurosci.* 2002; 16: 445-453.
6. Silvagno F, Guarneri V, Capizzi A, Pescarmona GP. Synergistic effect of retinoic acid and dehydroepiandrosterone on differentiation of human neuroblastoma cells. *FEBS Lett.* 2002; 532: 153-158.
7. Yung SY, Gokhan S, Jurcsak J, Molero AE, Abrajano JJ, Mehler MF. Differential modulation of BMP signaling promotes the elaboration of cerebral cortical GABAergic neurons or oligodendrocytes from a common sonic hedgehog-responsive ventral forebrain progenitor species. *Proc Natl Acad Sci USA.* 2002; 99: 16273-16278.
8. Chojnacki A, Weiss S. Isolation of a novel platelet-derived growth factor-responsive precursor from the embryonic ventral forebrain. *J Neurosci.* 2004; 24: 10888-10899.
9. Kessel M. Respecification of vertebral identities by retinoic acid. *Development.* 1992; 115: 487-501.
10. Jones-Villeneuve EM, McBurney MW, Rogers KA, Kahnins VI. Retinoic acid induces embryonal carcinoma cells to differentiate into neurons and glial cells. *J Cell Biol.* 1982; 94: 253-262.
11. Martin GR, Evans MJ. Differentiation of clonal lines of teratocarcinoma cells: formation of embryoid bodies in vitro. *Proc Natl Acad Sci USA.* 1975; 72: 1441-1445.
12. Bain G, Ray WJ, Yao M, Gottlieb DI. From embryonal carcinoma cells to neurons: the P19 pathway. *Bioessays.* 1994; 16: 343-348.
13. Azizi H, Zare N, Kasemi Aashtiani, Bahmani MKH, Baharvand H. Dehydroepiandrosterone increased the proliferation of neural progenitor cells derived from P19 embryonal carcinoma stem cells. *Physiology and P19 Embryonal Carcinoma Stem Cells. Physiology and Pharmacology.* 2008; 12(3): 180-187.
14. Compagnone NA, Mellon SH. Neurosteroids: biosynthesis and function of these novel neuromodulators. *Front Neuroendocrinol.* 2000; 21: 1-56.
15. Jones-Villeneuve EM, Rudnicki MA, Harris JF, McBurney MW. Retinoic acid-induced neural differentiation of embryonal carcinoma cells. *Mol Cell Biol.* 1983; 3: 2271-2279.
16. Maden M. Retinoic acid and its receptors in limb regeneration. *Semin Cell Dev Biol.* 1997; 8: 445-453.
17. Lee SH, Lumelsky N, Studer L, Auerbach JM, McKay RD. Efficient generation of midbrain and hindbrain neurons from mouse embryonic stem cells. *Nat Biotechnol.* 2000; 18: 675-679.
18. Kocsis JD, Akiyama Y, Lankford KL, Radtke C. Cell transplantation of peripheral-myelin-forming cells to repair the injured spinal cord. *J Rehabil Res Dev.* 2002; 39: 287-298.
19. Bain G, Ray WJ, Yao M, Gottlieb DI. Retinoic acid promotes neural and represses mesodermal gene expression in mouse embryonic stem cells in culture. *Biochem Biophys Res Commun.* 1996; 223: 691-694.
20. Bain G, Gottlieb DI. Neural cells derived by in vitro differentiation of P19 and embryonic stem cells. *Perspect Dev Neurobiol.* 1998; 5: 175-178.
21. Hens J, Nuydens R, Geerts H, Senden NH, Van de Ven WJ, Roebroek AJ, et al. Neuronal differentiation is accompanied by NSP-C expression. *Cell Tissue Res.* 1998; 292: 229-237.
22. Bain G, Kitchens D, Yao M, Huettner JE, Gottlieb DI. Embryonic stem cells express neuronal properties in vitro. *Dev Biol.* 1995; 168: 342-357.
23. Rudnicki MA, Jackowski G, Saggin L, McBurney MW. Actin and myosin expression during development of cardiac muscle from cultured embryonal carcinoma cells. *Dev Biol.* 1990; 138: 348-358.
24. Pratt MA, Kralova J, McBurney MW. A dominant negative mutation of the alpha retinoic acid receptor gene in a retinoic acid-nonresponsive embryonal carcinoma cell. *Mol Cell Biol.* 1990; 10: 6445-6453.
25. Pratt MA, Langston AW, Gudas LJ, McBurney MW. Retinoic acid fails to induce expression of Hox genes in differentiation-defective murine embryonal carcinoma cells carrying a mutant gene for alpha retinoic acid receptor. *Differentiation.* 1993; 53: 105-113.
26. Wobus AM, Kaomei G, Shan J, Wellner MC, Rohwedel J, Ji G, et al. Retinoic acid accelerates embryonic stem cell-derived cardiac differentiation and enhances development of ventricular cardiomyocytes. *J Mol Cell Cardiol.* 1997; 29: 1525-1539.
27. Jacob A, Budhiraja S, Reichel RR. Differential induction of HNF-3 transcription factors during neuronal differentiation. *Exp Cell Res.* 1997; 234: 277-284.
28. Charalampopoulos I, Dermitsaki E, Vardouli L, Tsatsanis C, Stourmaras C, Margioris AN, et al. Dehydroepiandrosterone sulfate and allopregnanolone directly stimulate catecholamine production via induction of tyrosine hydroxylase and secretion by affecting actin polymerization. *Endocrinology.* 2005; 146: 3309-3318.
29. Compagnone NA, Mellon SH. Dehydroepiandrosterone: a potential signalling molecule for neocortical organization during development. *Proc Natl Acad Sci USA.* 1998; 95: 4678-4683.
30. Sharma S, Notter MF. Characterization of neurotransmitter phenotype during neuronal differentiation of embryonal carcinoma cells. *Dev Biol.* 1988; 125: 246-254.
31. Pawson L, Pack AK, Bolanowski SJ. Possible glutaminergic interaction between the capsule and neurite of Pacinian corpuscles. *Somatosens Mot Res.* 2007; 24: 85-95.
32. Greenwood SM, Connolly CN. Dendritic and mitochondrial changes during glutamate excitotoxicity. *Neuropharmacology.* 2007; 53: 891-898.
33. McBurney MW, Reuhl KR, Ally AI, Nasipuri S, Bell JC, Craig J. Differentiation and maturation of embryonal carcinoma-derived neurons in cell culture. *J Neurosci.* 1988; 8: 1063-1073.
34. Hogan BL, Taylor A, Adamson E. Cell interactions modulate embryonal carcinoma cell differentiation into parietal or visceral endoderm. *Nature.* 1981; 291: 235-237.
35. Strickland S, Mahdavi V. The induction of differentiation in teratocarcinoma stem cells by retinoic acid. *Cell.* 1978; 15: 393-403.
36. McBurney MW. P19 embryonal carcinoma cells. *Int J Dev Biol.* 1993; 37: 135-140.
37. Sucher NJ, Akbarian S, Chi CL, Leclerc CL, Awobajo M, Deitcher DL, et al. Developmental and regional expression pattern of a novel NMDA receptor-like subunit (NMDAR-L) in the rodent brain. *J Neurosci.* 1995; 15: 6509-6520.
38. Monyer H, Sprengel R, Schoepfer R, Herb A, Higuchi M, Lomeli H, et al. Heteromeric NMDA receptors: molecular and functional distinction of subtypes. *Science.* 1992; 256: 1217-1221.
39. Durand GM, Gregor P, Zheng X, Bennett MV, Uhl GR, Zukin RS. Cloning of an apparent splice variant of the rat N-methyl-D-aspartate receptor NMDAR1 with altered sensitivity to polyamines and activators of protein kinase C. *Proc Natl Acad Sci USA.* 1992; 89: 9359-9363.
40. Brady RJ, Gorter JA, Monroe MT, Swann JW. Developmental alterations in the sensitivity of hippocampal NMDA receptors to AP5. *Brain Res Dev Brain Res.* 1994; 83: 190-196.